



دانشکده مهندسی مکانیک

پایان‌نامه کارشناسی ارشد در رشته مهندسی مکانیک (تبدیل انرژی)

شبیه سازی عددی روند تشکیل قطره در یک
میکروکanal T - شکل تحت میدان مغناطیسی

توسط

مجتبی آقاجانی حقیقی

اساتید راهنما

دکتر همایون امداد

دکتر خسرو جعفرپور

1390 دی ماه

چکیده

شبیه سازی عددی روند تشکیل قطره در یک میکروکanal T- شکل تحت میدان مغناطیسی

توسط

مجتبی آقاجانی حقیقی

کاربرد میکروdstگاهها در تحقیقات علمی و همچنین انجام عملیات‌های مختلف، به ویژه در علوم بیولوژی و بیوشیمی در چند دهه اخیر افزایش چشمگیری داشته است. در این dstگاهها عموماً از میکروسیال‌هایی که به صورت قطرات منفرد در جریان سیال حرکت می‌کنند استفاده می‌شود. دلیل این امر، قابلیت کنترل بر حجم قطرات ایجاد شده است. بدین ترتیب می‌توان حجم مشخصی از واکنش دهنده‌ها را در فرآیندها به کار گرفت. کنترل اندازه قطرات به روش‌های مختلفی انجام می‌شود. یکی از این روشها استفاده از اثر میدان مغناطیسی بر جریان سیال (MHD) است. پکارگیری این روش ویژگی‌های منحصر به فردی دارد، که از جمله آنها سهولت در تعبیه تشکیلات مربوطه در ابعاد میکرون، و عدم لزوم ایجاد تغییرات در خصوصیات فیزیکی فازها و پارامترهای جریان - مانند سرعت‌های ورودی - است. شایان ذکر است که اثر کشش سطحی در ابعاد ریز، بسیار حائز اهمیت بوده و در مقایسه با سایر نیروها مقادیر قابل توجهی را به خود اختصاص می‌دهد. در این پژوهش، ابتدا به مدلسازی عددی اثر کشش سطحی پرداخته شده است. صحت و دقت این مدلسازی، از طریق مقایسه نتایج با نمونه‌های معتبر مورد سنجش و ارزیابی قرار گرفته است. پس از آن اثرات MHD از نقطه نظر عددی در کانون توجه قرار گرفته است. نتایج بدست آمده از مدلسازی مربوط به این اثر نیز با نمونه‌های مختلفی مقایسه و اعتبارسنجی شده است. سپس نتایج تحقیقات گذشته در شبیه سازی جریان در یک میکروکanal T- شکل بررسی و تایید شده است. این نتایج شامل تاثیر سرعت ورودی جریان اصلی و ثانویه، و همچنین تاثیر تغییر ثابت کشش سطحی بر اندازه قطرات می‌باشد. در ادامه به موضوع اصلی این پژوهش، یعنی شبیه سازی عددی تاثیر یک میدان مغناطیسی یکنواخت بر روند تشکیل و اندازه قطرات، در یک میکروکanal T- شکل پرداخته شده است. بر این اساس، مشاهده شد که قطر قطرات با افزایش شدت میدان مغناطیسی، کاهش می‌یابد.

فهرست مطالب

1	- مقدمه	1
6	- پیشینه تحقیق	2
6	- 1-2- مدلسازی جریان های دو فازی	
7	- 2-2- مدلسازی اثر کشش سطحی	
7	- 3-2- مدلسازی اثر میدان مغناطیسی	
8	- 4-2- شبیه سازی جریان در میکروکانال ها	
11	- 1-4-2- تاثیر میدان مغناطیسی بر روند تشکیل قطره در میکروکانالها	
12	- 3- تئوری	3
12	- 1-3- روش کسر حجمی سیال (VOF)	
13	- 2-3- معادلات پیوستگی و اندازه حرکت	
14	- 3-3- اثر کشش سطحی	
17	- 4-3- اثر میدان مغناطیسی	
17	- 1-4-3- معادله القا	
19	- 2-4-3- عدد بدون بعد رینولدز مغناطیسی	
20	- 3-4-3- تشابه بین معادله القا و معادله چرخش	
21	- 4-4-3-تابع پتانسیل برداری	
23	- 4- ملاحظات عددی و گسسته سازی معادلات	
23	- 1-4- بدون بعد سازی معادلات حاکم بر جریان	
25	- 2-4- گسسته سازی به روش حجم محدود در دستگاه مختصات منحنی الخط	

31	- گسسته سازی معادلات اندازه حرکت و پیوستگی	3-4
32	- گسسته سازی نیروی کشش سطحی در مختصات منحنی الخط	4-4
34	- گسسته سازی معادله پتانسیل برداری میدان مغناطیسی	5-4
36	- روش کسر حجمی سیال (VOF)	6-4
38	- نتایج و بحث	5
38	- مدلسازی اثر کشش سطحی	1-5
38	- قطره ساکن	1-1-5
43	- ناپایداری ریلی - تیلور	2-1-5
49	- قطره آویزان در آستانه جدایش	3-1-5
54	- مدلسازی اثرات MHD	2-5
54	- جریان هارتمن	1-2-5
59	- جریان کوئت تحت اثر میدان مغناطیسی	2-2-5
61	- جابجایی چهار سلوی	3-2-5
64	- جریان گردابی منفرد	4-2-5
66	- مجموعه ای از گردابه ها در میدان افقی	5-2-5
68	- بررسی جریان در میکروکانال T- شکل	3-5
69	- بررسی اثر سرعت جریان اصلی بر قطر قطره ها	1-3-5
71	- بررسی اثر سرعت جریان ثانویه بر قطر قطره ها	2-3-5
71	- بررسی اثر کشش سطحی بر قطر قطره ها	3-3-5
73	- بررسی جریان در میکروکانال T- شکل تحت اثر میدان مغناطیسی	4-5
74	- تاثیر میدان مغناطیسی بر قطر قطره ها	1-4-5
75	- تاثیر میدان مغناطیسی بر روند تشکیل قطره	2-4-5
77	- تاثیر میدان مغناطیسی بر سرعت تشکیل قطره	1-2-4-5
77	- تاثیر میدان مغناطیسی بر نرخ تولید قطرات	2-2-4-5
78	- تاثیر میدان مغناطیسی بر سرعت حرکت قطره	3-2-4-5

80	6
83	7

فهرست شکل ها

شکل (1-1) تفاوت چسبندگی سطحی دو سطح Hydrophobic و Hydrophilic	4
شکل (1-2) روند تشکیل قطره در میکروکanal T- شکل (Nisisako et al. 2002)	9
شکل (2-2) نتایج آزمایش‌های (Nisisako et al. 2002) در یک میکروکanal T- شکل، بررسی اثر افزایش سرعت سیال اصلی و ثانویه بر قطر قطره	10
شکل (3-2) نتایج شبیه سازی عددی (Reedman 2002) در یک میکروکanal T- شکل، بررسی اثر افزایش سرعت سیال اصلی و ثانویه بر قطر قطره	10
شکل (1-3) ایجاد نیروی کشش سطحی ناشی از چسبندگی بین مولکولهای یک سیال	14
شکل (1-4) تصویری از مولفه های یک بردار در دستگاه مختصات منحنی الخط در دو بعد	25
شکل (2-4) تصویری از یک حجم کنترل دو بعدی و همسایه های پیرامون آن	29
شکل (3-4) حجم کنترل های مربوط به فشار و مولفه های سرعت در شبکه جایجا شده	31
شکل (4-4) تصویری از خط مرز در یک سلوول و نواحی تفکیک شده توسط آن	37
شکل (1-5) مشخصات هندسی و شرایط مرزی در مدلسازی قطره ساکن	39
شکل (2-5) نتایج عددی مدلسازی قطره ساکن (Vincent and Caltagirone 1992) به ترتیب در زمانهای s	40
شکل (3-5) نتایج عددی تحقیق حاضر برای قطره ساکن به ترتیب در زمانهای s	40
شکل (4-5) جریان های زائد در نزدیکی سطح آزاد	41
شکل (5-5) نمودار تغییرات شاخص RMS سرعت در زمان	42
شکل (6-5) تصویری از بردارهای عمود بر سطح آزاد	42
شکل (7-5) مراحل گسترش ناپایداری ریلی- تیلور (Popinet and Zaleski 1999)	43
شکل (8-5) مشخصات هندسی و شرایط مرزی در مدلسازی ناپایداری ریلی- تیلور	44
شکل (9-5) شبیه سازی پدیده ناپایداری ریلی- تیلور توسط (Raessi et al. 2010)	45

46.....	شكل (10-5) نتایج شبیه سازی پدیده ناپایداری ریلی - تیلور
47.....	شكل (11-5) تصویری از جریان های گردابی در پشت جریان نفوذی
48.....	شكل (12-5) حل تحلیلی و نتایج عددی نرخ رشد ناپایداری - n بر حسب φ -
50.....	شكل (13-5) مراحل جدایش قطره آویزان در شبیه سازی عددی توسط (Gueyffier et al. 1999)
51.....	شكل (14-5) نتایج عددی (Gueyffier et al. 1999) در شبیه سازی جدایش قطره آویزان
52.....	شكل (15-5) مشخصات هندسی و شرایط مرزی در شبیه سازی جدایش قطره آویزان
53.....	شكل (16-5) تصاویری از نتایج عددی تحقیق حاضر در شبیه سازی جدایش قطره آویزان
54.....	شكل (17-5) کanal به کار رفته در جریان هارتمن و نحوه اعمال میدان مغناطیسی
56.....	شكل (18-5) مشخصات هندسی و شرایط مرزی در مدلسازی جریان هارتمن
57.....	شكل (19-5) نتایج حل تحلیلی (Hughes and Young 1966) و نتایج عددی تحقیق حاضر برای جریان هارتمن
58.....	شكل (20-5) پروفایل سرعت در جریان هارتمن بر اساس مقادیر واقعی سرعت
59.....	شكل (21-5) هندسه به کار رفته در مدلسازی جریان کوئت
60.....	شكل (22-5) نتایج حل تحلیلی (Hughes and Young 1966) و نتایج عددی تحقیق حاضر برای جریان کوئت
61.....	شكل (23-5) میدان سرعت در مدلسازی جابجایی چهار سلوی
62.....	شكل (24-5) کانتور تابع خطی شرط اولیه در مدلسازی جابجایی چهار سلوی
63.....	شكل (25-5) نتایج عددی (Zegeling 2005) سمت راست، و نتایج عددی تحقیق حاضر سمت چپ، در زمان های $s = 0.5, 1, 3, 5$
64.....	شكل (26-5) میدان سرعت در مدلسازی جریان گردابی منفرد
65.....	شكل (27-5) نتایج عددی (Zegeling 2005) سمت راست، و نتایج عددی تحقیق حاضر سمت چپ، در زمان های $s = 1, 2, 3, 10$
66.....	شكل (28-5) میدان سرعت در مدلسازی مجموعه ای از گردابه ها در میدان افقی
67.....	شكل (29-5) نتایج عددی (Zegeling 2005) سمت راست، و نتایج عددی تحقیق حاضر سمت چپ، در زمان های $s = 0.25, 0.5, 1, 10$
69.....	شكل (30-5) مشخصات هندسی میکروکanal T - شکل
70.....	شكل (31-5) نمودار تغییرات قطر قطره در اثر تغییر در سرعت ورودی جریان اصلی برای تحقیق حاضر و کار عددی (Liow 2004)، سرعت ورودی سیال ثانویه 0.05 m/s

شکل (32-5) نمودار تغییرات قطر قطره در اثر تغییر در سرعت ورودی جریان اصلی برای تحقیق حاضر و کار عددی (Liow 2004)، سرعت ورودی سیال ثانویه 0.01 m/s	70
شکل (33-5) نمودار تغییرات قطر قطره در اثر تغییر در سرعت ورودی جریان اصلی برای تحقیق حاضر، در دو سرعت ورودی 0.05 m/s و 0.01 m/s از سیال ثانویه	71
شکل (34-5) نمودار لگاریتمی تغییرات قطر قطره بر حسب ثابت کشش سطحی برای تحقیق حاضر و کار عددی (Liow 2004)	72
شکل (35-5) تصویری از ایجاد قطرات ریز، به هنگام تشکیل قطره در $\sigma = 0.0089 \text{ N/m}$	72
شکل (36-5) میدان مغناطیسی یکنواخت اعمال شده بر مسیر اصلی میکروکانال T- شکل	73
شکل (37-5) تاثیر میدان مغناطیسی بر قطر قطرات در مقایسه با حالت معمول (بدون اعمال میدان)، در سرعت های ورودی مختلف جریان اصلی، برای دو عدد هارتمن مختلف	74
شکل (38-5) تاثیر تغییرات قطر قطره بر حسب عدد هارتمن در دو سرعت ورودی مختلف جریان اصلی	75
شکل (39-5) روند تشکیل قطره در میکروکانال T- شکل تحت تاثیر میدان مغناطیسی در زمان های مختلف	76
شکل (40-5) روند تشکیل قطره در میکروکانال T- شکل بدون اعمال میدان مغناطیسی در زمان های مختلف	76
شکل (41-5) تفاوت پروفایل سرعت توسعه یافته‌ی جریان بدون اعمال میدان مغناطیسی و تحت تاثیر میدان مغناطیسی	78
شکل (42-5) روند تشکیل قطره در میکروکانال T- شکل بدون اعمال میدان مغناطیسی و تحت تاثیر میدان مغناطیسی	79

فهرست جدول ها

جدول (1-5) مشخصات فیزیکی فازها در مدلسازی قطره ساکن	39.....
جدول (2-5) خصوصیات فیزیکی به کار رفته برای شبیه سازی پدیده ناپایداری ریلی- تیلور	45.....
جدول (3-5) اعداد بدون بعد به کار رفته در شبیه سازی جدایش قطره آویزان.....	50.....
جدول (4-5) مشخصات فیزیکی تترادکان و آب	69.....

۱ - مقدمه

میکروفناوری امروزه تبدیل به ابزاری قوی برای جستجو و موشکافی در ذرات و اجزای ریز عالم هستی شده است. دلیل روی آوردن بشر به فناوری های ابعاد کوچک (میکرو و نانو)، همین امر است که این ابزارها نقش چشم و دست آدمی را برای ریزبینی و تفحص در این ابعاد بازی می-کنند.

این ابزارها را به طور کلی سیستم های میکروالکترومکانیکی^۱ (MEMS) می‌نامند که از لحاظ کاربردی تنوع زیادی در علوم مختلف دارند. در بسیاری از این سیستم ها از میکروسیالهای^۲ استفاده می‌شود. گونه‌ای از این سیستم ها، آزمایشگاههای تراشه‌ای^۳ (LOC) هستند. LOC تراشه کوچکی است که یک یا چند فرآیند آزمایشگاهی از جمله آنالیز یا تجزیه های شیمیایی و بیولوژیکی را به وسیله میکروسیالهای موجود در خود انجام می‌دهد (Jönsson 2007). میکروسیالهای به کار رفته در این سیستم ها اغلب چندفازی هستند و ترجیحاً از میکروسیالهای قطره‌ای^۴ استفاده می‌شود که دلیل این رجحان به تفصیل بیان می‌شود. در بررسی پدیده ها نسبت سطح به حجم، یک پارامتر بسیار مؤثر است. اگر یک حجم ثابت از سیال داشته باشیم، هر چه بتوان آن را به اجزای کوچکتری تقسیم کرد، نسبت حجم به سطح بالا می‌رود. حال اگر این اجزا در حد میکرون باشند، این نسبت به حد فوق العاده‌ای بالا می‌رود. بدین ترتیب میکروسیالهای قطره‌ای به علت سطح تماس بالا، جهش بزرگی در افزایش غلظت موضعی واکنش‌دهنده‌ها و در نتیجه افزایش سرعت واکنش های شیمیایی ایجاد کرده‌اند (Yang et al. 2010).

^۱ MicroElectroMechanical Systems

^۲ Microfluids

^۳ Lab-on-a-Chip

^۴ Drop-based Microfluids

از دیگر مشخصه های میکروسیالهای قطره ای، گستینگی در جریان سیال و قابلیت تغییر در اندازه و حجم قطره می باشد (Shui et al. 2006). بدین ترتیب می توان حجم مشخصی از یک سیال را توسط قطره ای از آن، به صورت یک نمونه منفرد به محل مورد نظر انتقال داد. مضاف بر اینکه مصرف سیال نمونه، با این روش به شدت کاهش می یابد. این مشخصه به ویژه در علم بیولوژی کاربرد دارد. در زمینه هایی چون آنالیز DNA، آنالیز سلول ها، آنالیز آنزیم ها و آنالیز ساختار پروتئین (Yang et al. 2010)، از میکروسیالهای قطره ای استفاده می شود. مثلاً میکرودستگاههای PCR^۱ نمونه ای از LOC ها هستند که برای شناسایی باکتری ها، ویروس ها و سلول های سرطانی استفاده می شوند، یا میکرودستگاههای نمونه برداری خون که می توانند محتويات یک سلول را برای یافتن DNA موجود در آن بشکنند (Yager et al. 2006) از دیگر کاربردهای میکروسیالهای قطره ای می توان به انواع میکروراکتورها^۲، مانند میکرومخلوط کننده ها^۳ (Lashkari et al. 1997)، میکروآرایه های DNA^۴ (Hardt et al. 2001) و نیز پرینترهای Inkjet (Baroud and Willaime 2004) اشاره کرد. این کاربردها اهمیت فرآیند تشکیل قطره و تحت کنترل درآوردن^۵ آن، و توجه به خصوصیاتی از قطره، از جمله اندازه قطره و بررسی پارامترهای تأثیرگذار بر آنها را دوچندان می کند.

روش های مختلفی برای تحت کنترل درآوردن روند تشکیل قطره موجود است که به سه دسته کلی تقسیم می شوند:

کنترل توسط ایجاد تغییر در نیروهای داخلی سیال (مانند کشش بین سطوح سیالها^۶، نیروهای مکانیکی (مانند استفاده از دیافراگم ها) و نیروهای غیر مکانیکی (میدان های مغناطیسی^۷، الکتریکی^۸، حرارت^۹، موج^{۱۰} و نور^{۱۱}) که هر یک مزایا و معایب خود را دارد است .(Shui et al. 2006, Yang et.al 2010)

^۱ Polymerase Chain Reaction

^۲ Microreactors

^۳ Micromixers

^۴ DNA Microarrays

^۵ Manipulation

^۶ Interfacial Tension

^۷ Magnetic Actuation

^۸ Electrohydrodynamics

^۹ Thermocapillary

^{۱۰} Acoustic Radiation

^{۱۱} Photic Effects

تجربه نشان داده است که روند تشکیل قطره کمی با ناپایداری سیال همراه است (Hardt et al. 2001). این امر ما را بر آن می‌دارد تا برای کنترل مطمئن‌تر این روند، تنها بر تغییرات در نیروهای داخلی سیال اکتفا نکنیم.

تأثیر نیروی ناشی از میدان مغناطیسی از جهاتی منحصر به فرد است. تأثیر این نیرو مستقل از PH^۱، قدرت یونی^۲ و بار الکتریکی سطح^۳ است و با گستره‌ی وسیعی از مواد و فرآیندهای شیمیایی و بیوشیمیایی سازگار است (Yang et al. 2010). ضمناً تهیه و تعوییه تشکیلات مورد نیاز این اثر در حد میکرون به آسانی میسر است.

تأثیر میدان مغناطیسی به دو صورت به سیال القا می‌شود:

در حالت اول سیال مورد نظر یونی است. بدین ترتیب اثر میدان مغناطیسی مستقیماً بر آن القا می‌شود. در استخراج نفت از چاههای زیر دریاهای آب شور، معمولاً مواد استخراج شده مخلوطی از نفت و آب شور است. در عملیات خالص سازی نفت، مواد استخراج شده را از یک میدان مغناطیسی می‌گذرانند. بدین ترتیب آب شور به علت یونی بودن و برخورداری از هدایت الکتریکی مناسب^۴، تحت تأثیر میدان مغناطیسی از نفت که غیر یونی است جدا شده و نفت خالص حاصل می‌شود. بر اساس این حالت، می‌توان روند تشکیل قطره‌ی یک سیال یونی، در یک سیال غیر یونی را تحت میدان مغناطیسی تحت کنترل درآورد.

در حالت دوم که معمولاً سیالهای مورد نظر غیر یونی هستند، از یک سری ذرات فراپارامغناطیسی^۵ در یکی از فازهای سیال استفاده می‌شود که نیرویی توسط یک آهنربای دائمی یا آهنربای الکتریکی به ذرات القا می‌شود. با اعمال نیرو روی این ذرات، فاز مورد نظر نیز همراه با آنها به هر سمت کشیده می‌شود. اثر این نیرو تحت تأثیر نوع ذرات مغناطیسی مورد استفاده، اندازه قطره، کشش سطحی^۶، لزجت سیال و همچنین تعداد ذرات مغناطیسی مورد استفاده و... می‌باشد (Yang et al. 2010). این نکته بسیار حائز اهمیت است که زمانی سیال به خوبی متأثر از نیروی القا شده در ذرات می‌شود که چسبندگی^۷ بین سیال قطره و پوشش

^۱ Ionic Strength

^۲ Surface Charge

^۳ Electrical Conductivity

^۴ Superparamagnetic

^۵ Surface Tension

^۶ Adhesion

سطحی^۱ ذرات مغناطیسی زیاد باشد. بدین منظور بهتر است پوشش سطحی ذرات مغناطیسی طبق شکل (1-1)، (Yang et al. 2010) Hydrophilic باشد



شکل (1-1) تفاوت چسبندگی سطحی دو سطح Hydrophobic و Hydrophilic (Shui et al. 2006)

همواره در مقیاس های کوچک، بر خلاف ابعاد معمولی، نیروی ناشی از کشش بین سطوح سیالات از اهمیت فوق العاده ای برخوردار است. رفتار میکروسیالها از جهاتی با سیال در ابعاد معمولی متفاوت است. در ابعاد کوچک، کشش سطحی و نیروی ناشی از لزجت سیال نقش برجسته تری نسبت به باقی نیروها (مانند اینرسی) دارند. در مقیاس های میکرو و نانو نسبت اهمیت نیروها به ترتیب زیر است (Shui et al. 2006):

شناوری > نیروهای اینرسی ~ نیروی جاذبه > نیروهای لزجی > نیروی کشش بین سطحی

عموماً در سیستم های چند فازی در میکروکانال ها ما با تقابل دو نیرو رو برو هستیم. نیروی لزجی و کشش بین سطوح سیالات، که بنا بر ترتیب فوق نیز جزء قوی ترین نیروها هستند. نیروی لزجی به صورت مماس بر مرز دو سیال عمل می کند و سعی در افزایش مرز دو سیال دارد. نیروی کشش بین سطحی عمود بر مرز سیال ها عمل می کند و سعی در کاهش مرز دو سیال دارد. به همین دلیل، غلبه نیروهای لزجی بر کشش بین سطحی باعث ایجاد جريان موازی^۲ و غلبه نیروی کشش بین سطحی بر نیروهای لزجی منجر به ایجاد جريان گسسته^۳ و قطره ای یک فاز در فاز دیگر می شود (Joanicot and Ajdari 2005).

^۱ Surfactant's Tail

^۲ Stratified Flow

^۳ Segmented Flow

اثر نیروی ناشی از میدان مغناطیسی بر سیالات، در علم هیدرودینامیک مغناطیسی¹ (MHD)، بررسی می‌شود. علم MHD از جمع دو علم هیدرودینامیک و الکترومغناطیس پدید آمده است. با این حال گستره علمی که MHD پوشش می‌دهد بسیار فراتر از دامنه علم هیدرودینامیک به علاوه الکترومغناطیس است (Palacios 2006).

در این پژوهش به دلیل دو فازی بودن جریان سیال، برای تمیز سطوح آزاد فازهای مختلف، از یک برنامه (Nikseresht 2004, Ziae 2006)، بر مبنای کسر حجمی سیال، استفاده شده است. پس از افرودن ملاحظات کشش سطحی و اثرات مغناطیسی به این برنامه، تأثیر میدان مغناطیسی بر روند تشکیل قطره در یک میکروکanal T- شکل بررسی خواهد شد.

شایان ذکر است که در نگارش روابط موجود در فصل های مختلف این پایان نامه، استفاده از حروف درشت² نشانگر توابع برداری است.

¹ Magnetohydrodynamics
² Bold Letters

2- پیشینه تحقیق

در این فصل پیشینه ای از مسائل مربوط به مدلسازی جریان های دوفازی، مدلسازی اثر کشش سطحی و میدان مغناطیسی، و کارهای عددی و تجربی انجام شده در زمینه شبیه سازی جریان در میکروکانال های T- شکل بررسی می شود.

1-2- مدلسازی جریان های دوفازی

یکی از بهترین روش های مدلسازی سطح آزاد در جریان های دوفازی، روش کسر حجمی سیال^۱ (VOF) است که برای اولین بار توسط (Hirt and Nicholas 1981) منتشر شد. در این روش از یکتابع اسکالار به نام تابع رنگ^۲ برای دنبال کردن حجم هر سیال استفاده می شود. در روش VOF برای بازسازی سطح آزاد^۳ از الگوریتم های مختلفی استفاده می شود که الگوریتم PLIC^۴ که برای اولین بار توسط (Youngs 1982) معرفی شد، از دقیق ترین آنهاست.

یکی از مراحل مهم در روش VOF-PLIC بدست آوردن بردارهای عمود بر سطح آزاد است. از جمله الگوریتم های کارآمد برای بدست آوردن بردار عمود بر سطح، الگوریتم پارکر و یانگ^۵ و نیز ELVIRA^۶ است (Pilliod and Puckett 2004). الگوریتم برای محاسبه بردار عمود بر سطح است که توسط (Pilliod 1992) ارائه شده است.

^۱ Volume Of Fluid

^۲ Color function

^۳ Interface Reconstruction

^۴ Piecewise Linear Interface Calculation

^۵ Parker and Youngs

^۶ Efficient Least Squares VOF Interface Reconstruction Algorithm

2-2- مدلسازی اثر کشش سطحی

دو روش عمدۀ برای مدلسازی اثر کشش سطحی موجود می‌باشد. یکی روش CSS¹ که از تانسور تنش استفاده می‌کند، و دیگری روش CSF² است. در روش CSF که توسط (Brackbill et al. 1992) ارائه شد، از تنش‌های برشی روی سطح آزاد صرفنظر می‌شود و ضریب کشش سطحی ثابت در نظر گرفته می‌شود. با این ساده‌سازی‌ها، نیروی ناشی از کشش سطحی تنها در جهت عمود بر سطح مقدار دارد. در این روش، این نیرو که به صورت یک نیروی تماسی³، تنها روی خط مرز دو سیال عمل می‌کند، به یک نیروی حجمی⁴ هموار تبدیل شده و در معادله اندازه حرکت قرار داده می‌شود.

یکی از مسائل مهم در مدلسازی اثر کشش سطحی، تخمین صحیح انحنای سطح آزاد است که این کار معمولاً با استفاده از تغییرات تابع رنگ در میدان سیال انجام می‌شود.

در کار انجام شده توسط (Brackbill et al. 1992)، دو روش مختلف یکی بر پایه طرح⁵ و دیگری MAC⁶ (Maire et al. 2007, Hirt et al. 1972)، برای مدلسازی نیروی بین سطح دو سیال ارائه شده است که جزئیات آن در (Brackbill et al. 1992) آمده است. نمونه‌های مختلفی به وسیله این روش مدلسازی شده است که در فصل نتایج توضیحات کامل آورده شده است.

3-2- مدلسازی اثر میدان مغناطیسی

اثر میدان مغناطیسی بر سیال به وسیله نیروی لورنژ⁷ در معادلات نویر استوکس⁸ ظاهر می‌شود. این نیرو از ضرب خارجی چگالی جریان الکتریکی و شدت میدان مغناطیسی بدست می‌آید. به طور کلی دو روش برای مدلسازی عددی معادلات MHD استفاده می‌شود. یکی روش

¹ Continuum Surface Stress

² Continuum Surface Force

³ Contact Force

⁴ Volume Force

⁵ Marker And Cell

⁶ Arbitrary Lagrangian Eulerian

⁷ Lorentz Force

⁸ Navier Stokes Equations

المان محدود¹ است، و دیگری حجم محدود². در روش المان محدود، عموماً از روش گالرکین³ گالرکین³ 2004 (and Guermond 2004) استفاده می‌شود. در این روش از یک مقدار جبرانی⁴ به صورت یک تابع گرادیان، برای اطمینان از ارضای قانون گوس استفاده می‌شود (Salah et al. 2001). معادله دیفرانسیل جزئی حاکم بر شدت میدان مغناطیسی القا شده در جریان سیال را معادله القا⁵ گویند. در مسائل عددی به دو صورت با معادله القا برخورد می‌شود. در حالت اول مستقیماً از خود معادله القا برای بدست آوردن شدت میدان مغناطیسی القایی استفاده می‌شود (Massaglia et al. 2008). در حالت دوم با تعریف یک تابع پتانسیل برداری⁶، ابتدا معادله القا به فرمی ساده تر تبدیل شده و پس از حل این معادله جدید، شدت میدان مغناطیسی با یک تبدیل ساده بدست می‌آید (Zegeling 2005, Jiangguo 2007).

بکی از نمونه‌های مهم در حل جریان سیال تحت تاثیر میدان مغناطیسی، جریان هارتمن⁷ است. در این نمونه جریان در یک کانال ساده تحت اثر یک میدان مغناطیسی یکنواخت فرض می‌شود (Hughes and Young 1966). این نمونه به همراه نمونه‌های دیگری از اثرات میدان مغناطیسی بر جریان سیال در فصل نتایج بررسی شده است.

4-2- شبیه سازی جریان در میکروکanal ها

هندسه‌های مختلفی برای تشکیل قطره در یک میکروسیال چند فازی در میکروکانالها موجود است. این هندسه‌ها عبارتند از:

- میکروکانال T- شکل
- میکروکانال متقطع
- Flow-Focusing

¹ Finite Element

² Finite Volume

³ Galerkin

⁴ Penalty Factor

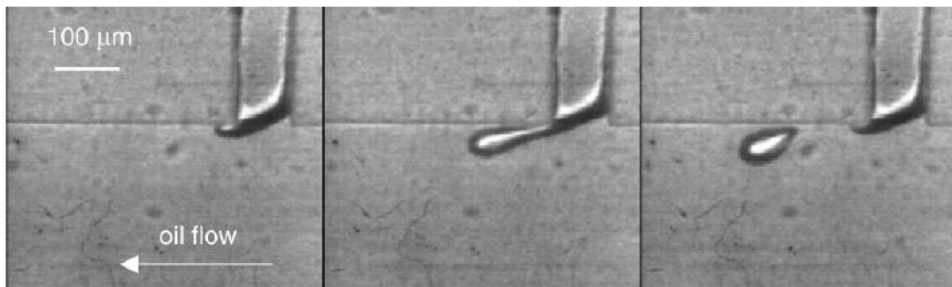
⁵ Induction Equation

⁶ Vector Potential Function

⁷ Hartmann Flow

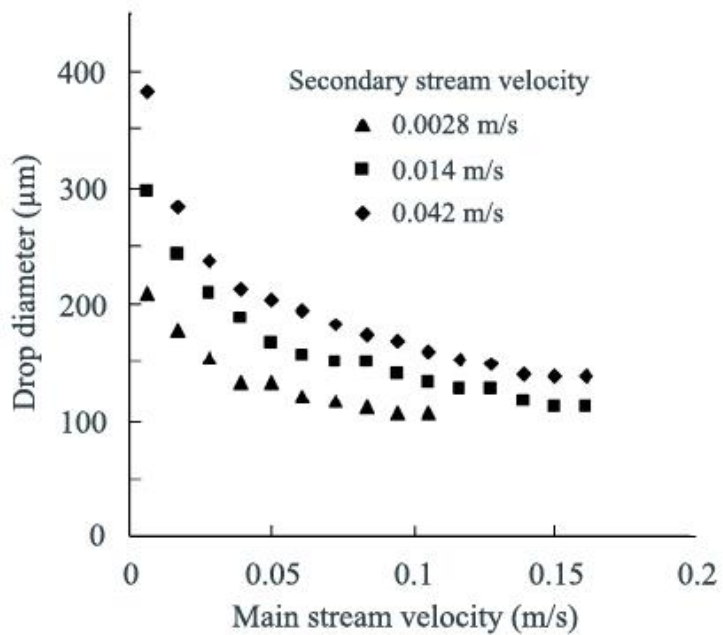
از این میان، کاربرد میکروکانالهای T- شکل در میکروسیستم های الکترومکانیکی (MEMS)، به وفور دیده میشود و معمولاً به صورت شبکه‌ای از میکروکانالهای T- شکل موجود هستند (Yang et al. 2010).

آزمایش‌های مختلفی در هندسه های متفاوت برای یافتن پارامترهای مؤثر بر الگوی جریان انجام شده است. Thorsen از اولین کسانی بوده که از میکروکانال T- شکل برای ایجاد قطره استفاده کرده است. در این هندسه، مطابق شکل (1-2)، سیال ثانویه تحت نیروی برشی سیال اصلی، وارد کanal اصلی میشود و در نهایت تحت اثر نیروی کشش سطحی، قطره ای از سیال ثانویه جدا شده و در کanal اصلی حرکت میکند (Yang et al. 2010).



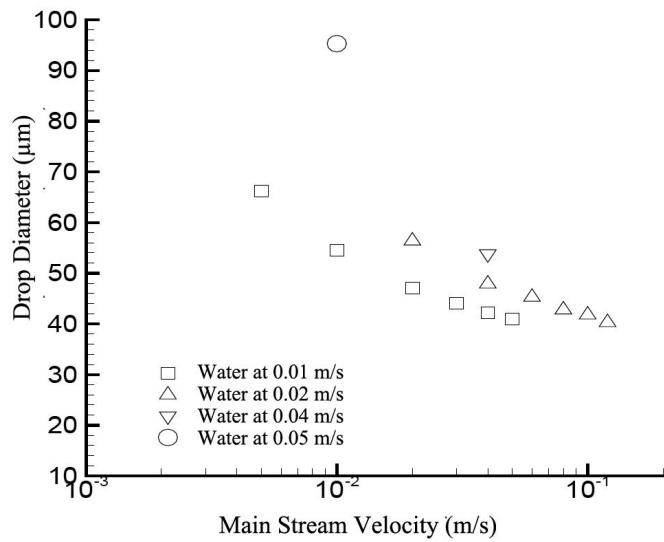
شکل (1-2) روند تشکیل قطره در میکروکانال T- شکل (Nisisako et al. 2002)

آزمایش‌های مفیدی نیز توسط (Nisisako et al. 2002) در میکروکانال T- شکل انجام شده است. بنا بر نتایج ایشان، همان طور که در شکل (2-2) مشاهده میشود، با افزایش سرعت جریان اصلی، قطر قطره ها کاهش مییابد. همچنین با افزایش نرخ ورود سیال ثانویه به میکروکانال اصلی، قطر قطره ها نیز افزایش یافته است. با افزایش سرعت جریان اصلی، نسبت نیروهای برشی به نرمال افزایش مییابد. در نتیجه قطر قطره ها بنا بر غلبه نیروی لزجی بر کشش بین سطحی کاهش یافته و حرکت قطره‌ای جریان، رفته رفته به حرکت موازی فازها تبدیل میشود (Shui et al. 2006). همین آزمایشات به صورت تجربی توسط (Liow and Cole 2004) نیز انجام شده است و همین نتایج به دست آمده است.



شکل(2-2) نتایج آزمایش‌های (Nisisako et al. 2002) در یک میکروکانال T- شکل، بررسی اثر افزایش سرعت سیال اصلی و ثانویه بر قطر قطره

در پژوهشی عددی توسط (Reedman 2002)، طبق شکل(3-2)، همین نتایج تأیید شده است.



شکل(2-3) نتایج شبیه سازی عددی (Reedman 2002) در یک میکروکانال T- شکل، بررسی اثر افزایش سرعت سیال اصلی و ثانویه بر قطر قطره

در تحقیقی دیگر که به صورت عددی توسط (Liow 2004) انجام گرفته است، علاوه بر تأیید نتایج فوق، تأثیر تغییر کشش بین سطوح دو سیال نیز بررسی شده است. طبق گزارش وی، با کاهش کشش بین سطحی سیالات، قطر قطره نیز کاهش یافته است.

۱-۴-۲- تأثیر میدان مغناطیسی بر روند تشکیل قطره در میکروکanalها

اثرات MHD، با توجه به ویژگی‌های منحصر به فردی که در فصل پیشین توضیح داده شد، می‌تواند نقش برجسته‌ای در تحت کنترل در آوردن روند تشکیل قطره در میکروکانالها ایفا کند. از جمله مهمترین این ویژگی‌ها می‌توان به عدم وابستگی آن به خصوصیات شیمیایی سیال‌ها و بار الکتریکی سطح، و سازگاری آن با اکثر مواد و فرآیندهای شیمیایی و بیولوژیکی، سهولت تعبیه تشکیلات مورد نیاز این در مقیاس میکرون و انعطاف بالا در کنترل قطره، به دلیل سهولت تغییر در شدت این نیرو (به ویژه با استفاده از آهنربای الکتریکی)، اشاره کرد. به طور کلی آزمایشات تجربی یا پژوهش‌های عددی در زمینه بررسی اثرات MHD بر روند تشکیل قطره در میکروکانالها، کمتر در کانون توجه قرار گرفته یا نتایج آنها منتشر نشده است. اما از سال 2007، تحقیقات وسیعتری در این زمینه آغاز شده است (Yang et al. 2010). برخورداری از قابلیت‌های ذکر شده در کنترل روند تشکیل قطره تحت اثرات MHD و از طرفی کاربرد آن در برخی میکرودستگاه‌های بیولوژیکی (مانند PCR ها)، دلایلی بر تحقیق و تفحص بیشتر در این زمینه است.

هدف از این پژوهش، بررسی عددی اثرات MHD بر روند تشکیل قطره در یک میکروکانال T-شکل می‌باشد. در این راستا ابتدا به مدلسازی عددی اثر کشش سطحی و اثرات MHD، به طور مجزا پرداخته خواهد شد. پس از آن، نتایج پژوهش‌های پیشین در این زمینه بررسی شده و در ادامه، روند تشکیل قطره در جریان ثانویه، تحت اثر یک میدان مغناطیسی یکنواخت بر جریان اصلی میکروکانال، شبیه سازی خواهد شد.